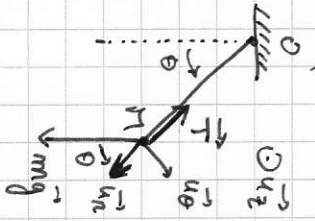


I) Le pendule simple (4)



On évalue le moment cinétique et les moments mécaniques en O.

Intéressé: $\vec{M}_O(\dot{\omega}) = \vec{OH} \wedge \vec{T} = \vec{0}$ car $\vec{OH} \parallel \vec{T}$

$\vec{M}_{\frac{mg}{m}}(\dot{\omega}) = \vec{OH} \wedge m\vec{g}$

Or $\vec{OH} = l\vec{u}_1$; $m\vec{g} = mg(\cos\theta\vec{u}_1 - \sin\theta\vec{u}_2)$

$\vec{L}(\dot{\omega}) = \vec{OH} \wedge m\vec{v} = l\vec{u}_1 \wedge m l\dot{\theta}\vec{u}_2 = ml^2\dot{\theta}\vec{u}_2$

D'où, en appliquant le théorème du moment cinétique (TMC)

$\frac{d\vec{L}(\dot{\omega})}{dt} = \vec{M}_{\frac{mg}{m}}(\dot{\omega}) + \vec{M}_O(\dot{\omega}) \Rightarrow m l^2 \ddot{\theta} \vec{u}_2 = -mgl \sin\theta \vec{u}_2$

et on retrouve $\ddot{\theta} + \frac{g}{l} \sin\theta = 0$

II) Solide en rotation autour d'un axe fixe

1) Dans le cas a), le solide est soumis à trois actions mécaniques:

- Les forces de pesanteurs. Leur moment est nul: $M_{\text{pes}, \Delta} = 0$.
- Le moment moteur: $M_{\text{mot}, \Delta} = +C$
- Le moment de frottement fluide: $M_{\text{frot}, \Delta} = -R\omega$

Tout est d'inertie \vec{I}_D ; par définition: $L_D = \vec{I}_D \omega$

TMC projeté sur Δ : $\frac{dL_{\Delta}}{dt} = M_{\Delta} \Rightarrow \vec{I}_D \dot{\omega} = C - R\omega$

soit $\dot{\omega} + \frac{R}{I_D} \omega = \frac{C}{I_D}$. On pose $\tau = \frac{I_D}{R}$ et $\omega_{\infty} = \frac{C}{R}$

alors $\dot{\omega} + \frac{\omega_{\infty}}{\tau} = \omega_{\infty}$

Rappel: Eq. diff. : $y' + ay = b$; $(a; b) \in \mathbb{R}^2$

solution de l'équation sans second membre: $y' + ay = 0$

solution particulière: $y = \frac{b}{a}$. \rightarrow solution $y(t) = y_0 e^{-at}$

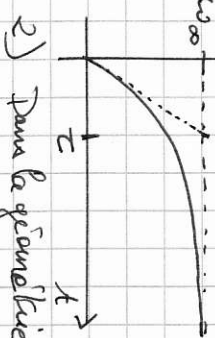
\rightarrow solution générale: $y(t) = \frac{b}{a} + y_0 e^{-at}$

y_0 est déterminé par les conditions initiales.

Dans notre cas: $\omega(t) = A e^{-t/\tau} + \omega_{\infty}$; $A \in \mathbb{R}$. Or $\omega(0) = 0$

D'où $A = -\omega_{\infty}$ soit $\omega(t) = \omega_{\infty} (1 - e^{-t/\tau})$

Semblable formellement à la charge d'un condensateur



2) Dans la géométrie b). Le solide est soumis à 3 actions mécaniques.

\rightarrow Le moment de la force de pesanteur: $M_{\text{pes}, \Delta} = -mgl \sin\theta$

\rightarrow le moment de la liaison pivot de l'axe de rotation: nul
 \rightarrow le moment de frottement fluide: $M_{\text{frot}, \Delta} = -R\dot{\theta}$

TMC $\frac{dL_{\Delta}}{dt} = \vec{I}_D \dot{\theta} = \vec{I}_D \ddot{\theta} = -R\dot{\theta} - mgl \sin\theta$, d'où

$\ddot{\theta} + \frac{R}{I_D} \dot{\theta} + \frac{mga}{I_D} \sin\theta = 0$

soit $\ddot{\theta} + \frac{2}{\tau} \dot{\theta} + \omega_{\infty}^2 \sin\theta = 0$

3) Petites oscillations autour de $\theta = 0$: $\sin\theta \approx \theta$

d'où $\ddot{\theta} + \frac{2}{\tau} \dot{\theta} + \omega_{\infty}^2 \theta = 0$ \rightarrow oscillation harmonique de pulsation ω_0 et d'amplitude τ propre

(Cf TD4 sur les osc. harmonique)

On pose $\omega_0^2 = \frac{mga}{I_D}$ et $\tau = \frac{2I_D}{R}$

Equilibre: $\sum M_{\Delta} = 0 \Rightarrow \theta_{\text{eq}} = 0$

I) Equilibre d'une balance

1/ oui, car le moment est proportionnel à l (un petit poids peut compenser un grand poids si les distances sont convenablement choisies)

R_1 et R_2 n'interviennent pas (c'est uniquement le bras de levier).

2/ $R_1 m_1 = l m_2$ $\left[\frac{m_1}{m_2} = \frac{l_2}{l_1} \right]$

PFD: $0 = R \neq m_1 \vec{g} + m_2 \vec{g} \Rightarrow |R| = (m_1 + m_2)g$

$R = m_2 g \left(1 + \frac{m_1}{m_2} \right)$

$R = m_2 g \frac{l_2}{l_1}$



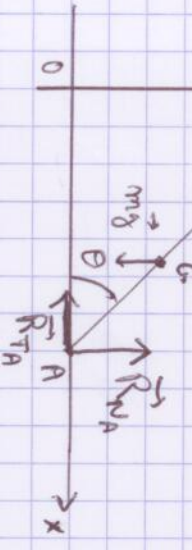
1)

II) Equilibre d'une échelle

1/ $\vec{R}_B \perp \vec{O}_y$ car pas de frottements.
hyp: échelle en équilibre.

on pose $AG = xL$ et appliquons

les théorèmes généraux de la mécanique:



PFD: $\begin{cases} R_B + R_{TA} = 0 \\ -mg + R_{NA} = 0 \end{cases} \Rightarrow |R_{NA}| = mg$

TMC en A: $-mgxL \cos\theta + R_B L \sin\theta = 0$

$\Rightarrow R_B = mgx \frac{1}{\tan\theta}$

$\Rightarrow R_{TA} = -mgx \frac{1}{\tan\theta}$

Donc équilibre possible ssi: $mgx \frac{1}{\tan\theta} < \mu mg$

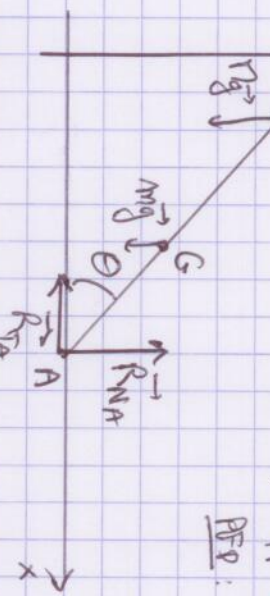
soit $\theta > \text{Arctan}\left(\frac{x}{\mu l}\right)$ ici $x = \frac{l}{3} \Rightarrow \theta > \text{Arctan}\left(\frac{1}{3\mu}\right)$

2)

Théorème raisonnablement en tenant compte de l'action mécanique supplémentaire de la masse H.

on pose $AG = xL$ et $AH = yL$

De même, appliquons les théorèmes généraux



PFD: $\begin{cases} R_B + R_{TA} = 0 \\ -(m+H)g + R_{NA} = 0 \end{cases} \Rightarrow |R_{NA}| = (m+H)g$

TMC en A: $-mgxL \cos\theta - HyL \cos\theta + R_B L \sin\theta = 0$

$\Rightarrow R_B = (mx + Hy)g \frac{1}{\tan\theta}$

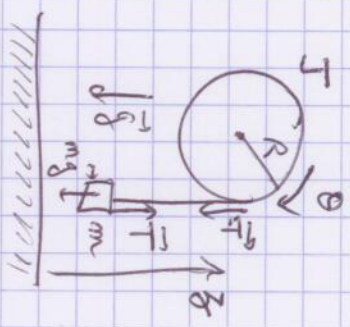
$\Rightarrow R_{TA} = -(mx + Hy)g \frac{1}{\tan\theta}$

Donc équilibre possible ssi: $(mx + Hy)g \frac{1}{\tan\theta} < \mu(m+H)g$

soit $\theta > \text{Arctan}\left(\frac{mx + Hy}{\mu(m+H)}\right)$

EXPERIENCE DE TP

1) La masse m est soulevée à son poids $\vec{p} = m\vec{g}$ et la tension du fil \vec{T}



2) PFD à la masse m :

$$m \frac{d^2 z}{dt^2} = -mg + T$$

$$I \frac{d^2 \theta}{dt^2} = RT$$

Condition de non glissement de la corde $R\theta = -z$

Donc $T = \frac{I}{R} \frac{d^2 \theta}{dt^2} = -\frac{I}{R^2} \frac{d^2 z}{dt^2}$

donc $m \frac{d^2 z}{dt^2} = -mg - \frac{I}{R^2} \frac{d^2 z}{dt^2}$

soit $(m + \frac{I}{R^2}) \frac{d^2 z}{dt^2} = -mg$

$$\boxed{\frac{d^2 z}{dt^2} = -\frac{m}{m + I/R^2} g}$$

donc $z(t) = \dots$ $\theta(t) = \dots$

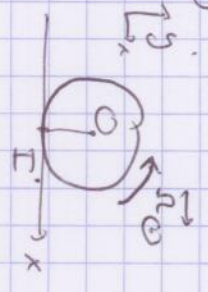
III) MOUVEMENT D'UNE ROUE RIGIDE

Condition de roulement sans glissement (RSG) :

$$\vec{V}_G(I) = \vec{0} = \vec{V}(I \text{ en roue}) - \vec{V}(I \text{ en sol})$$

$$= \vec{V}(I_0) + \vec{\omega} \wedge \vec{OI}$$

$$= \dot{x} \vec{u}_x + \left| \begin{matrix} 0 & 0 \\ \dot{\omega} & -a \end{matrix} \right| \vec{u}_x = (\dot{x} + a\dot{\omega}) \vec{u}_x \rightarrow \boxed{\dot{x} = -a\dot{\omega}}$$



TRC* : $M_G(I) = 0$ car R* est en translation

$$\frac{dL^x}{dt} = M_G(I) + M_G(I) \text{ or } L^x = J \vec{\omega}$$

d'où $J \dot{\omega} = T_0 + R_T a$

PFD selon x : $m \ddot{x} = R_T = -m a \dot{\omega} \Rightarrow J \dot{\omega} = T_0 - m a^2 \dot{\omega}$

Pour un cylindre, $J = \frac{1}{2} m a^2$ d'où finalement

$$\boxed{\dot{\omega} = \frac{2}{3} \frac{T_0}{m a^2}}$$

IV) Effet RSTRO



Glissement ? : $\vec{V}_G(I) = \vec{V}(I \text{ en roue}) - \vec{V}(I \text{ en sol}) = \vec{0}$

$$\vec{V}_G(I) = \vec{V}(I) + \vec{\omega} \wedge \vec{GI}$$

$$= \vec{V}(I) + \left| \begin{matrix} 0 & 0 \\ \dot{\omega} & -R \end{matrix} \right| \vec{u}_x$$

$$\boxed{\vec{V}_G(I) = (V + R\dot{\omega}) \vec{u}_x}$$

à $t=0$, $V_G = V_0 + R\dot{\omega}_0 > 0$. Il y a donc glissement initial.

(1) Phase de glissement : on a alors $\|R_T\| = f \|R_N\|$ et R_T s'oppose au mouvement

PFD : $\begin{cases} m \dot{v} = R_T \\ 0 = -mg + R_N \end{cases} \Rightarrow R_N = mg \Rightarrow \|R_T\| = f mg$

(1)

d'où $m \dot{v} = -f mg \Leftrightarrow \boxed{\dot{v} = -fg}$

donc $v(t) = v_0 - fgt$

$$x(t) = v_0 t - \frac{1}{2} fgt^2$$

TRC* : $J \dot{\omega} = -f mg R$

$$\Rightarrow \boxed{\dot{\omega} = -\frac{2fg}{R} t}$$

$$w(t) = \omega_0 - \frac{2fg}{R} t$$

Phase de glissement :

$$V_G(I) = (V + R\dot{\omega}) \vec{u}_x$$

$$v_G(I)(t) = (v_0 + \omega_0 R - 3fgt) \vec{u}_x$$

le glissement prend fin à $t_0 = (v_0 + \omega_0 R) / 3fg$

(2) Phase de roulement sans glissement

auj : $V_G(I) = 0 \Rightarrow \boxed{v = -R\dot{\omega}}$

PFD : $m \dot{v} = R_T$

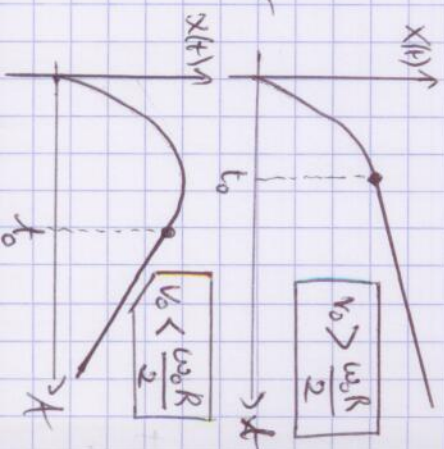
TRC* : $\frac{1}{2} m R^2 \dot{\omega} = R_T R \Rightarrow R_T = -\frac{1}{2} m \dot{v} \Rightarrow \boxed{\dot{v} = 0}$

donc $v = v(t_0)$ et $\omega = \omega(t_0)$ $v > 0$ car entrée la condition de RSG est toujours vérifiée

On a donc $v(t_0) = \frac{2v_0 - \omega_0 R}{3}$

* si $v_0 > \frac{\omega_0 R}{2} \rightarrow v(t_0) > 0$

* si $v_0 < \frac{\omega_0 R}{2} \rightarrow v(t_0) < 0 \rightarrow$ effet de frein



(2)